

ЗАО "ЛЕНТИСИЗ"  
Отдел: СИГ №2

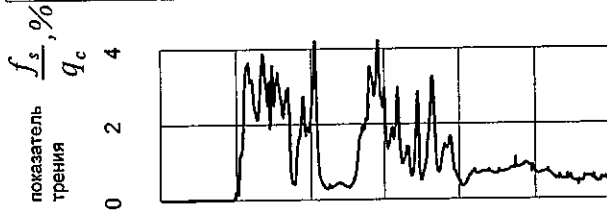
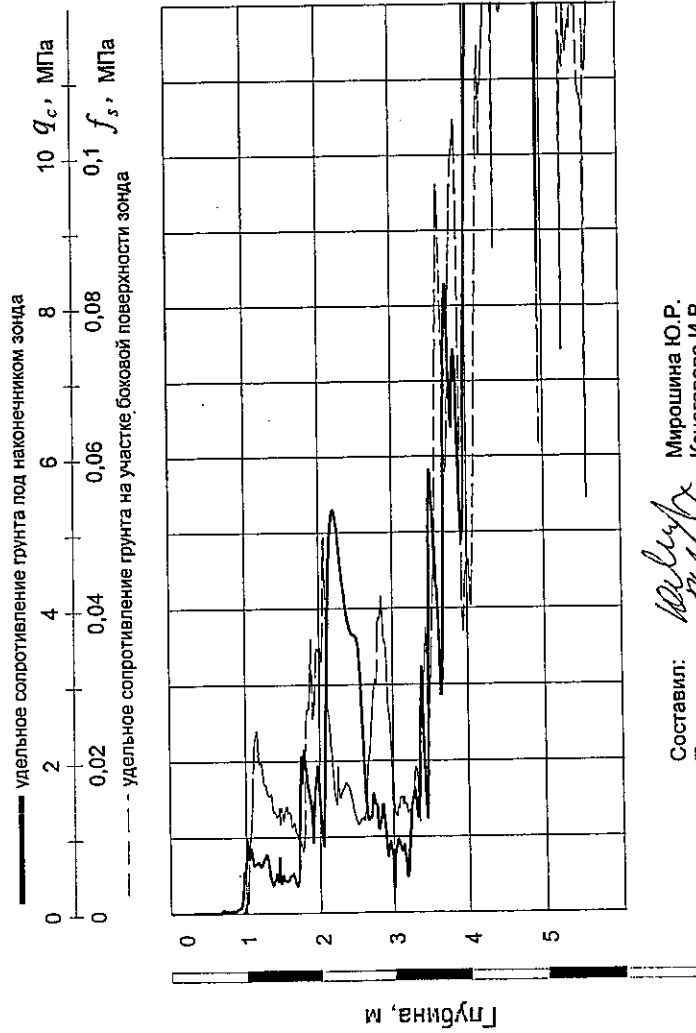
Шифр: 702\_08  
Объект: Чудновского

Точка зондирования: 5  
Абсолютная отметка: 3,23

Дата испытания: 05.02.2009  
Тип установки: УСЗГ-20.01

ЛН № 10869-4  
Лист 4

### График статического зондирования



Геол. индекс	Мощность слоя, м	Глубина слоя, м	Абс. отм. по д.ш.в.в. слоя, м	Геологический разрез, № ИГЭ	Наименование пород и их характеристика
IV	1,00	1,00	2,23	1	Насыпные грунты
ImIV	0,80	1,80	1,43	2	Супеси текучие, с прослоями пластичных
ImIV	0,80	2,60	0,63	3	Пески мелкие
IqIII	0,90	3,50	-0,27	5	Суглинки текучие, с прослоями текучепластичных
IqIII	0,50	4,00	-0,77	6	Супеси пластичные
IqIII	2,00	6,00	-2,77	7	Пески пылеватые

Составил: *Мирошина Ю.Р.*  
Проверил: *Кочегарова И.В.*  
Испытание проведено ЗАО "ЛЕНТИСИЗ"

ЗАО "ЛЕНТИСИЗ"  
 Отдел: СИГ №2

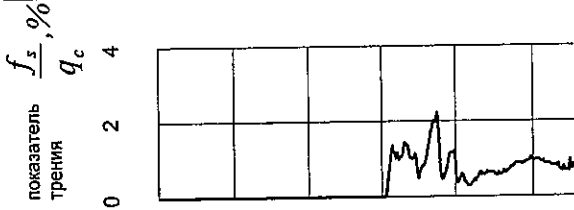
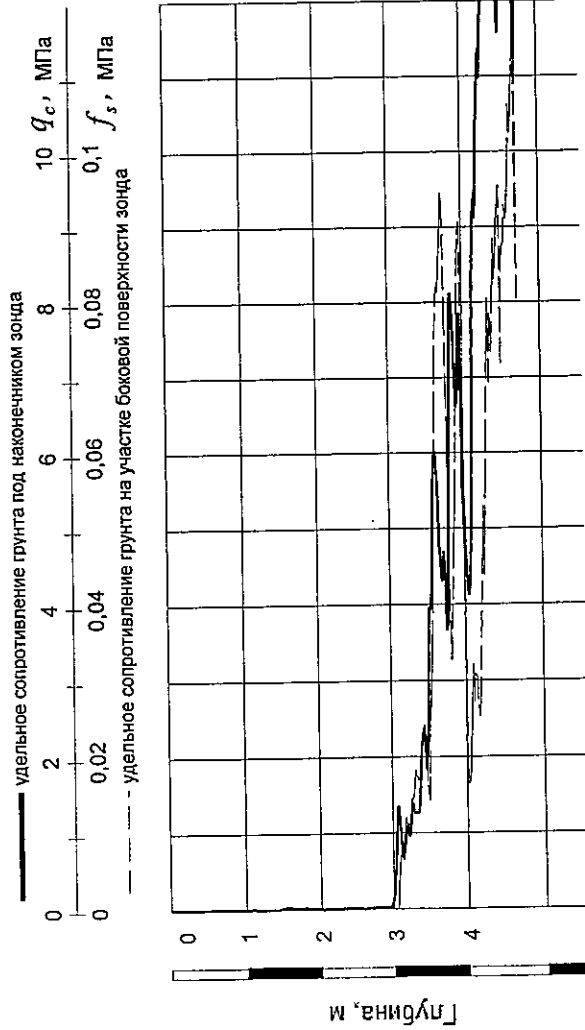
Шифр: 702\_08  
 Объект: Чудновского

Точка зондирования: 6  
 Абсолютная отметка: 3,5

Дата испытания: 05.02.2009  
 Тип установки: УСЗГ-20.01

ЛП№ 10869-4  
 Лист 5

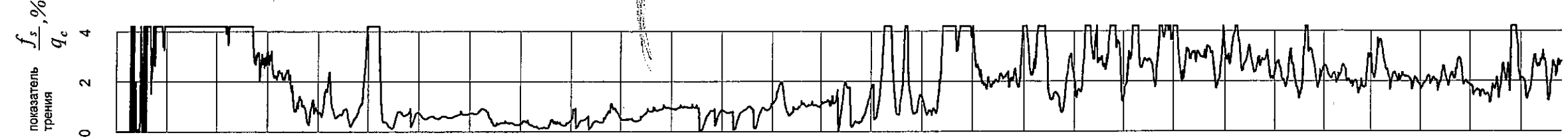
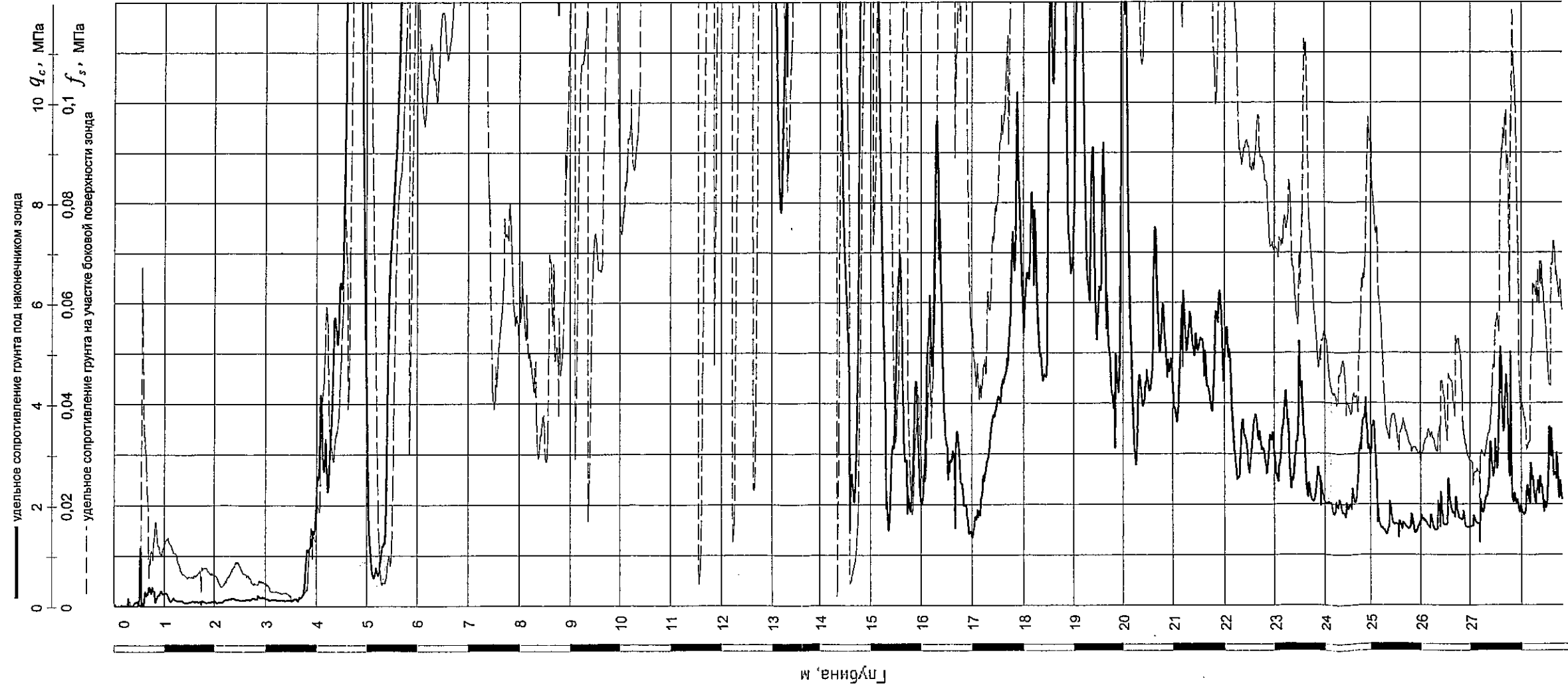
### График статического зондирования



Геол. индекс	Мощность слоя, м	Глубина слоя, м	Абс. отм. по дошвы слоя, м	Геологический разрез, № ИГЭ	Наименование пород и их характеристика
IV	1,50	1,50	2,00	1	Насыпные грунты
IqIII	1,50	3,00	0,50	5	Суглинки текучие, с прослоями текучепластичных
IqIII	1,00	4,00	-0,50	6	Супеси пластичные
IqIII	1,50	5,50	-2,00	7	Пески пылеватые

Составил: *Мирошина Ю.Р.*  
 Проверил: *Кочегарова И.В.*  
 Испытание проведено ЗАО "ЛЕНТИСИЗ"

График статического зондирования



Геол. индекс	Мощность слоя, м	Глубина слоя, м	Абс. отм. по дошвы слоя, м	Геологический разрез, № ИГЭ	Наименование пород и их характеристика
IV	0,50	0,50	4,50	1	Насыпные грунты
III	1,50	2,00	3,00	4	Суглинки леготочные тугопластичные
III	1,00	3,00	2,00	5	Суглинки текучие, с прослоями текучепластичных
III	0,80	3,80	1,20	6	Супеси пластичные
				7	Пески пылеватые
III	12,70	16,50	-11,50	8	
				9	
III	3,50	20,00	-15,00		Супеси пластичные

Составил: *Мирошина Ю.Р.*  
 Проверил: *Кочегарова И.В.*  
 Испытание проведено ЗАО "ЛЕНТИСИЗ"

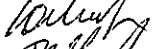

**Расчёт несущей способности одиночной забивной сваи  
по данным статического зондирования (п.3.10, п.5.11 СНиП 2.02.03-85)**

Коэффициент надёжности  $\gamma_k = 1,25$

Точка зондирования 1

Абс. отм., м	Сечение сваи	Квадрат, сторона 0,3 м			Круг, диаметр 0,3 м		
	Глубина, м	СНК, тс	СБП, тс	ОС, тс	СНК, тс	СБП, тс	ОС, тс
4,0	1,0	4,5	0	4,5	3,6	0	3,6
3,0	2,0	13,8	0,2	14,0	10,8	0,2	11,0
2,0	3,0	10,6	0,9	11,5	8,3	0,7	9,0
1,0	4,0	3,7	1,7	5,4	2,9	1,3	4,2
0,0	5,0	23,8	2,3	26,1	18,7	1,8	20,5
-1,0	6,0	42,3	4,2	46,5	33,2	3,3	36,5
-2,0	7,0	40,1	7,8	47,9	31,5	6,1	37,6
-3,0	8,0	37,7	12,1	49,8	29,6	9,5	39,1
-4,0	9,0	37,1	17,4	54,5	29,1	13,6	42,7
-5,0	10,0	35,7	21,4	57,1	28,0	16,8	44,8
-6,0	11,0	37,5	25,5	63,0	29,4	20,0	49,4
-7,0	12,0	37,2	30,0	67,2	29,2	23,5	52,7
-8,0	13,0	30,8	34,7	65,5	24,2	27,3	51,5
-9,0	14,0	21,9	39,2	61,1	17,2	30,8	48,0
-10,0	15,0	8,4	42,1	50,5	6,6	33,1	39,7
-11,0	16,0	8,7	44,3	53,0	6,9	34,8	41,7
-12,0	17,0	14,8	46,3	61,1	11,6	36,4	48,0
-13,0	18,0	22,7	48,6	71,3	17,8	38,2	56,0

Примечания: СНК - сопротивление под нижним концом забивной сваи  
СБП - сопротивление по боковой поверхности забивной сваи  
ОС - общее сопротивление

Составил:  Мирошина Ю.Р.  
Проверил:  Кочегарова И.В.

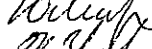

**Расчёт несущей способности одиночной забивной сваи по данным статического зондирования (п.3.10, п.5.11 СНиП 2.02.03-85)**

Коэффициент надёжности  $\gamma_k = 1,25$

Точка зондирования 1

Абс. отм., м	Сечение сваи Глубина, м	Квадрат, сторона 0,35 м			Круг, диаметр 0,35 м		
		СНК, тс	СБП, тс	ОС, тс	СНК, тс	СБП, тс	ОС, тс
4,0	1,0	9,1	0	9,1	7,1	0	7,1
3,0	2,0	18,1	0,3	18,4	14,2	0,2	14,4
2,0	3,0	13,5	1,1	14,6	10,6	0,8	11,4
1,0	4,0	5,7	1,9	7,6	4,5	1,5	6,0
0,0	5,0	40,3	2,6	42,9	31,7	2,1	33,8
-1,0	6,0	56,6	4,9	61,5	44,4	3,9	48,3
-2,0	7,0	54,3	9,1	63,4	42,7	7,1	49,8
-3,0	8,0	51,6	14,2	65,8	40,5	11,1	51,6
-4,0	9,0	50,1	20,3	70,4	39,4	15,9	55,3
-5,0	10,0	49,1	25,0	74,1	38,6	19,7	58,3
-6,0	11,0	51,0	29,8	80,8	40,1	23,4	63,5
-7,0	12,0	49,6	35,0	84,6	38,9	27,5	66,4
-8,0	13,0	41,7	40,5	82,2	32,7	31,8	64,5
-9,0	14,0	28,3	45,7	74,0	22,3	35,9	58,2
-10,0	15,0	11,6	49,2	60,8	9,1	38,6	47,7
-11,0	16,0	12,1	51,7	63,8	9,5	40,6	50,1
-12,0	17,0	19,9	54,0	73,9	15,6	42,4	58,0
-13,0	18,0	29,7	56,7	86,4	23,4	44,5	67,9

Примечания: СНК - сопротивление под нижним концом забивной сваи  
 СБП - сопротивление по боковой поверхности забивной сваи  
 ОС - общее сопротивление

Составил:  Мирошина Ю.Р.  
 Проверил:  Кочегарова И.В.

**Расчёт несущей способности одиночной забивной сваи  
по данным статического зондирования (п.3.10, п.5.11 СНиП 2.02.03-85)**

Коэффициент надёжности  $\gamma_k = 1,25$

Точка зондирования 1

Абс. отм., м	Сечение сваи	Квадрат, сторона 0,4 м			Круг, диаметр 0,4 м		
	Глубина, м	СНК, тс	СБП, тс	ОС, тс	СНК, тс	СБП, тс	ОС, тс
4,0	1,0	13,3	0	13,3	10,5	0	10,5
3,0	2,0	23,2	0,3	23,5	18,2	0,2	18,4
2,0	3,0	16,4	1,2	17,6	12,9	0,9	13,8
1,0	4,0	7,9	2,2	10,1	6,2	1,7	7,9
0,0	5,0	56,2	3,0	59,2	44,1	2,4	46,5
-1,0	6,0	72,3	5,6	77,9	56,8	4,4	61,2
-2,0	7,0	70,6	10,4	81,0	55,4	8,2	63,6
-3,0	8,0	67,6	16,2	83,8	53,1	12,7	65,8
-4,0	9,0	65,5	23,2	88,7	51,4	18,2	69,6
-5,0	10,0	64,2	28,6	92,8	50,4	22,5	72,9
-6,0	11,0	66,7	34,0	100,7	52,4	26,7	79,1
-7,0	12,0	63,5	40,0	103,5	49,9	31,4	81,3
-8,0	13,0	53,7	46,3	100,0	42,2	36,4	78,6
-9,0	14,0	35,2	52,3	87,5	27,7	41,0	68,7
-10,0	15,0	15,1	56,2	71,3	11,9	44,1	56,0
-11,0	16,0	15,9	59,1	75,0	12,5	46,4	58,9
-12,0	17,0	25,6	61,7	87,3	20,1	48,5	68,6
-13,0	18,0	37,5	64,8	102,3	29,4	50,9	80,3

Примечания: СНК - сопротивление под нижним концом забивной сваи  
СБП - сопротивление по боковой поверхности забивной сваи  
ОС - общее сопротивление

Составил:

Проверил:

Мирошина Ю.Р.

Кочегарова И.В.

**Расчёт несущей способности одиночной забивной сваи по данным статического зондирования (п.3.10, п.5.11 СНиП-2.02.03-85)**

Коэффициент надёжности  $\gamma_k = 1,25$

Точка зондирования 3

Абс. отм., м	Сечение сваи	Квадрат, сторона 0,3 м			Круг, диаметр 0,3 м		
	Глубина, м	СНК, тс	СБП, тс	ОС, тс	СНК, тс	СБП, тс	ОС, тс
2,6	1,0	4,8	0	4,8	3,8	0	3,8
1,6	2,0	14,4	0,5	14,9	11,3	0,4	11,7
0,6	3,0	31,1	2,7	33,8	24,4	2,1	26,5
-0,4	4,0	37,7	6,2	43,9	29,6	4,9	34,5
-1,4	5,0	43,9	10,3	54,2	34,5	8,1	42,6
-2,4	6,0	37,9	14,5	52,4	29,8	11,4	41,2
-3,4	7,0	31,5	17,7	49,2	24,8	13,9	38,7
-4,4	8,0	31,8	21,7	53,5	25,0	17,0	42,0
-5,4	9,0	34,8	25,2	60,0	27,4	19,8	47,2
-6,4	10,0	37,7	29,5	67,2	29,6	23,2	52,8
-7,4	11,0	40,5	33,1	73,6	31,8	26,0	57,8
-8,4	12,0	32,4	39,1	71,5	25,4	30,7	56,1
-9,4	13,0	33,9	43,0	76,9	26,6	33,8	60,4
-10,4	14,0	44,8	47,2	92,0	35,2	37,1	72,3

Примечания: СНК - сопротивление под нижним концом забивной сваи  
 СБП - сопротивление по боковой поверхности забивной сваи  
 ОС - общее сопротивление

Составил:  
 Проверил:

Мирошина Ю.Р.  
 Кочегарова И.В.

**Расчёт несущей способности одиночной забивной сваи по данным статического зондирования (п.3.10, п.5.11 СНиП 2.02.03-85)**

Коэффициент надёжности  $\gamma_k = 1,25$

Точка зондирования 3

Абс. отм., м	Сечение сваи Глубина, м	Квадрат, сторона 0,35 м			Круг, диаметр 0,35 м		
		СНК, тс	СБП, тс	ОС, тс	СНК, тс	СБП, тс	ОС, тс
2,6	1,0	7,8	0	7,8	6,2	0	6,2
1,6	2,0	23,5	0,6	24,1	18,5	0,4	18,9
0,6	3,0	43,0	3,1	46,1	33,8	2,5	36,3
-0,4	4,0	52,0	7,3	59,3	40,8	5,7	46,5
-1,4	5,0	59,3	12,0	71,3	46,6	9,4	56,0
-2,4	6,0	51,3	16,9	68,2	40,3	13,3	53,6
-3,4	7,0	43,1	20,6	63,7	33,8	16,2	50,0
-4,4	8,0	43,6	25,3	68,9	34,2	19,8	54,0
-5,4	9,0	47,7	29,3	77,0	37,5	23,0	60,5
-6,4	10,0	51,5	34,4	85,9	40,4	27,0	67,4
-7,4	11,0	54,1	38,6	92,7	42,5	30,4	72,9
-8,4	12,0	43,9	45,6	89,5	34,5	35,8	70,3
-9,4	13,0	45,7	50,2	95,9	35,9	39,4	75,3
-10,4	14,0	60,6	55,1	115,7	47,6	43,3	90,9

Примечания: СНК - сопротивление под нижним концом забивной сваи  
 СБП - сопротивление по боковой поверхности забивной сваи  
 ОС - общее сопротивление

Составил:

Проверил:

Мирошина Ю.Р.

Кочегарова И.В.




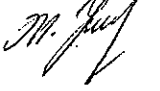
**Расчёт несущей способности одиночной забивной сваи по данным статического зондирования (п.3.10, п.5.11 СНиП 2.02.03-85)**

Коэффициент надёжности  $\gamma_k = 1,25$

Точка зондирования 3

Абс. отм., м	Сечение сваи Глубина, м	Квадрат, сторона 0,4 м			Круг, диаметр 0,4 м		
		СНК, ТС	СБП, ТС	ОС, ТС	СНК, ТС	СБП, ТС	ОС, ТС
2,6	1,0	11,6	0	11,6	9,1	0	9,1
1,6	2,0	34,3	0,6	34,9	26,9	0,5	27,4
0,6	3,0	56,7	3,6	60,3	44,5	2,8	47,3
-0,4	4,0	70,4	8,3	78,7	55,3	6,5	61,8
-1,4	5,0	76,7	13,7	90,4	60,3	10,7	71,0
-2,4	6,0	66,9	19,3	86,2	52,6	15,1	67,7
-3,4	7,0	56,5	23,6	80,1	44,3	18,5	62,8
-4,4	8,0	57,2	28,9	86,1	44,9	22,7	67,6
-5,4	9,0	62,7	33,5	96,2	49,3	26,3	75,6
-6,4	10,0	67,8	39,3	107,1	53,3	30,9	84,2
-7,4	11,0	68,6	44,2	112,8	53,9	34,7	88,6
-8,4	12,0	57,5	52,1	109,6	45,2	40,9	86,1
-9,4	13,0	59,3	57,4	116,7	46,6	45,1	91,7
-10,4	14,0	78,6	63,0	141,6	61,7	49,5	111,2

Примечания: СНК - сопротивление под нижним концом забивной сваи  
 СБП - сопротивление по боковой поверхности забивной сваи  
 ОС - общее сопротивление

Составил:  Мирошина Ю.Р.  
 Проверил:  Кочегарова И.В.

**Расчёт несущей способности одиночной забивной сваи по данным статического зондирования (п.3.10, п.5.11 СНиП 2.02.03-85)**

Коэффициент надёжности  $\gamma_k = 1,25$

Точка зондирования 4

Абс. отм., м	Сечение сваи Глубина, м	Квадрат, сторона 0,3 м			Круг, диаметр 0,3 м		
		СНК, тс	СБП, тс	ОС, тс	СНК, тс	СБП, тс	ОС, тс
4,0	1,0	1,7	1,0	2,7	1,3	0,8	2,1
3,0	2,0	1,0	3,4	4,4	0,8	2,7	3,5
2,0	3,0	2,8	4,4	7,2	2,2	3,4	5,6
1,0	4,0	30,8	4,5	35,3	24,2	3,6	27,8
0,0	5,0	41,8	7,8	49,6	32,8	6,1	38,9
-1,0	6,0	44,7	12,9	57,6	35,1	10,1	45,2
-2,0	7,0	44,5	17,5	62,0	35,0	13,7	48,7
-3,0	8,0	37,3	20,9	58,2	29,3	16,4	45,7
-4,0	9,0	37,0	25,9	62,9	29,1	20,3	49,4
-5,0	10,0	37,4	30,1	67,5	29,4	23,6	53,0
-6,0	11,0	37,1	33,8	70,9	29,1	26,5	55,6
-7,0	12,0	39,7	37,4	77,1	31,2	29,4	60,6
-8,0	13,0	41,5	40,7	82,2	32,6	32,0	64,6
-9,0	14,0	41,5	45,7	87,2	32,6	35,9	68,5
-10,0	15,0	25,1	51,7	76,8	19,7	40,6	60,3
-11,0	16,0	15,7	59,3	75,0	12,3	46,6	58,9
-12,0	17,0	21,1	62,7	83,8	16,6	49,3	65,9
-13,0	18,0	27,1	67,8	94,9	21,3	53,2	74,5
-14,0	19,0	33,4	75,4	108,8	26,3	59,3	85,6

Примечания: СНК - сопротивление под нижним концом забивной сваи  
 СБП - сопротивление по боковой поверхности забивной сваи  
 ОС - общее сопротивление

Составил:  
 Проверил:

Мирошина Ю.Р.  
 Кочегарова И.В.